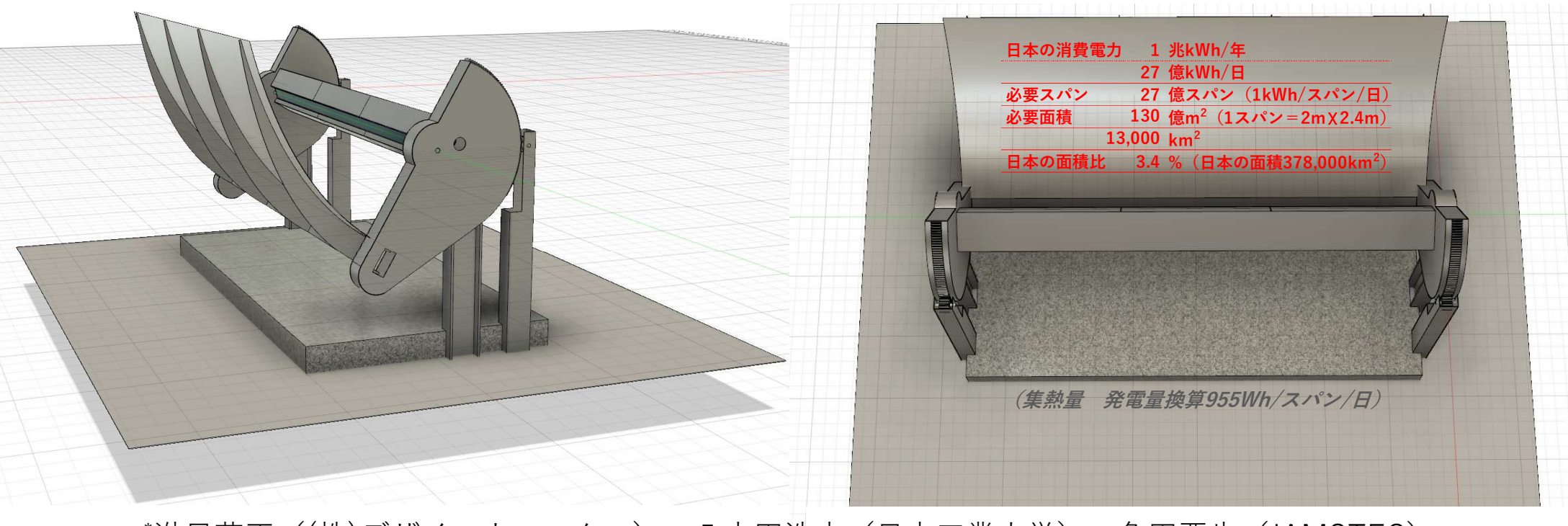
「太陽熱(低温)集熱装置の開発」

- 太陽熱/海洋深層水/低温スターリングエンジンで、低コスト/無尽蔵なエネルギー/電力-



*迯目英正((株)デザインウォーター),八木田浩史(日本工業大学),角田晋也(JAMSTEC) 小島 紀徳(元成蹊大学,RIMEP),鈴木 誠一(成蹊大学) ,伊藤 拓哉(沼津工業高等専門学校)

1. はじめに (日射の価値を再確認する⇒低温度差発電)

熱の価格

原油	4.43 円/千kcal
ガソリン	13.42 円/千kcal
一般炭	1.47 円/千kcal
都市ガス	5.29 円/千kcal

日射(太陽熱)の価値

年平均日射量	13.5 MJ/m ² /日(館山)
<i>11</i>	3,225 kcal/m²/日
熱の価値	2.2 円/m ² /日
<i>''</i>	801 円/m²/年

7	[]	用	す	ろ	Y	な	る	٢
1	J	/ 1 /		\sim	$\overline{}$.0	\sim	$\overline{}$

利用するとなると									
集熱効率	80%								
土地利用率	33%	技術的課題							
発電効率	14%	(トレードオフ)							

>	発電量	140 Wh/m²/日
	<i>II</i>	51,049 Wh/m²/年
	電力単価	30 円/kWh
	電力での価値	1,531 円/m ² /年

図-1 日射の経済的価値

日射の熱量は大きい (→使い方/技術的問題) 従来は太陽光発電 (→コスト高)

太陽熱発電 (→コスト高)



日射(太陽熱)の新しい集熱/温水/発電方法の提案

表-1 冷却水によるカルノー効率の違い

	河川水	深層水	備考(比)
高温側温度	80.0	80.0	排熱/日射
低温側温度	40.0	20.0	
カルノー効率	0.113	0.170	1.5

その際、低温側 熱源の温度が低い ことが重要になる。 (カルノーの定理)

サディ・カルノー

(1) Low Temperature Solar Heat Collecting Device (Capacity 3kW(E) × 24h × 88%)

East

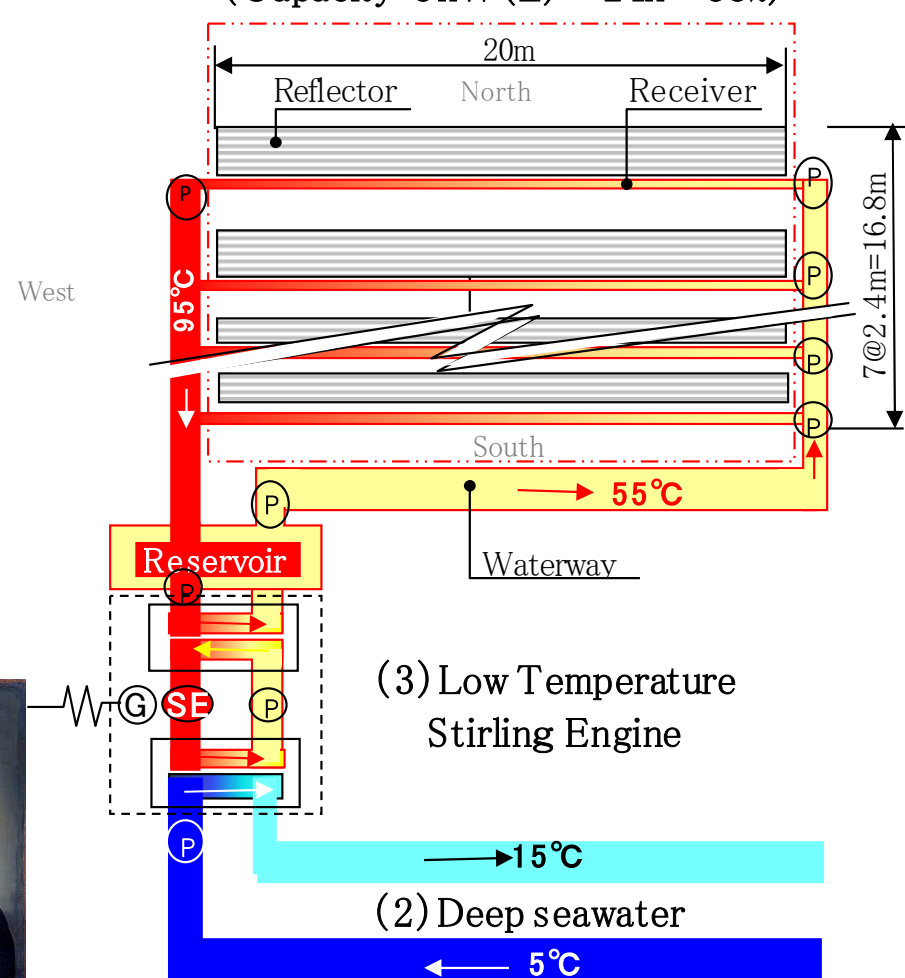


図-2 低温度差発電の構成

2. 低温度差発電最適化のスキーム

(1)太陽熱集熱システム

【構成】

1) 集熱装置(目的/環境に応じた最適化)

今回製作図を作成したので報告

- 2) 導水/排水(管路/ポンプ/断熱)
- 3) 貯水池 (アキュームレータ)
- 4) 熱媒体(水,油)
- 5) 運用環境

【与件】

- 1) 太陽定数と太陽の動き
- 2) 日本/世界の日射量

(全天日射量(GHI)/直達日射量(DNI)などが公開されている)

(3) 低温スターリングエンジン

【構成】

- 1) ピストン 〕 ドイツ (実施場所はタメラ/ポルトガル) で稼働中
- 2) 躯体
- ▶ (2018/10/20日本マクロ学会シンポジウムで報告)
- 3) 駆動部 」(目的に合わせ、改良→製作図を作成し、実証の準備中)

ドイツで実績を持ち、性能の確認を要するものの、 実現性に問題はない。

【与件】

- 1) 高温側熱源温度/流量 原理的に熱効率の良い発電機
- 2) 低温側熱源温度/流量 低温域で効果を発揮する

既往技術の組み合わせで、 性能の確認を要するものの、 実現性に問題はない。

低温度差発雷の

環境条件 装置仕様

運用条件 最適化

発雷コスト

などを示す

(些事に神は宿る)

(2) 海洋深層水取水/送水施設

【構成】

- 1) 取水口
- 2) 管路
- 3) ウェイト
- 4) 継ぎ手
- 5) 敷設法
- 6) 資材調達、艤装
- 7) 管防護工
- 8) ピット
- 9) 防水
- 10) ポンプ/ストレーナー
- 11) 水温上昇
- 12) 運用法



- ▶ ❶取水/送水コストを下げることが肝要
 - →建設費/運用エネルギーを抑えること
 - →DWT法の提案
 - →実施設計/施工計画/見積もり
 - →取水コストの確認(10年前)
 - ②大量取水/送水(相応の需要)であれば、
 - 取水/送水コスト、水温ト昇は小さい
 - ③いろんなデータを参考に良いとこ取り
 - →無数の修正の結果が現在の形
 - →報告するほどのことでもない

既往技術の組み合わせで、 性能誤差の確認を要するものの、 実現性に問題はない。

【与件】

- 1) 海洋深層水(海洋大循環モデル)の存在 →海洋大循環モデルの流れ
 - →既往資料から場所は限定される
 - →海洋調査、成分分析等で確認



- 2) 海象
- 3) 外力
 - 台風
 - 潮汐
 - 津波
 - 海底崖崩れ
 - サメ
- 4) 魚の習性



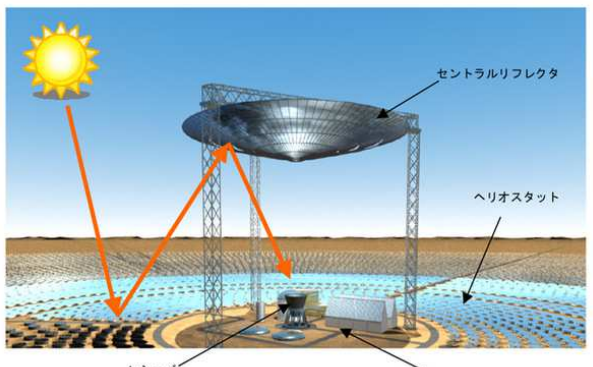
3. 既往集熱装置

それぞれの目的/環境で最適化されており、熱効率/コスト上、転用しても得はない。

循環水 入口or出口 センサースリープ

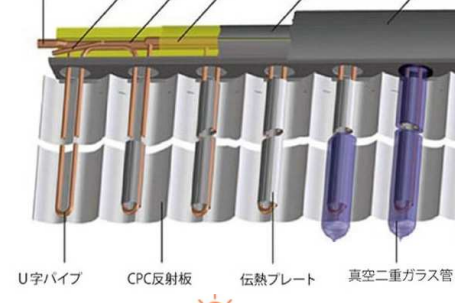






レシーバ (3) ビームダウン型 溶融塩タンク及び発電装置 (https://blogs.yahoo.co.jp/hose_solar/21615088.html)





(5) フレネル型 (http://lb.d-nagata.co.jp/products/almeco/vega_energy.html)



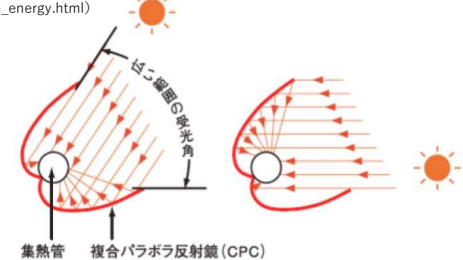
(2) トラフ型 (https://natgeo.nikkeibp.co.jp/nng/article/news/14/5697/)



(4) ディッシュ型 (JFEエンジニアリング)



(6) コンクリート製トラフ型 (http://www.airlightenergy.com/csp/)



(7) CPC (Compound Parabolic Concentrator) (http://www.easterntech.co.jp/contents/7_ecology/cpc.html)

表-2 集熱装置の性能比較

(b)太陽が最も低いとき

集熱ボックス

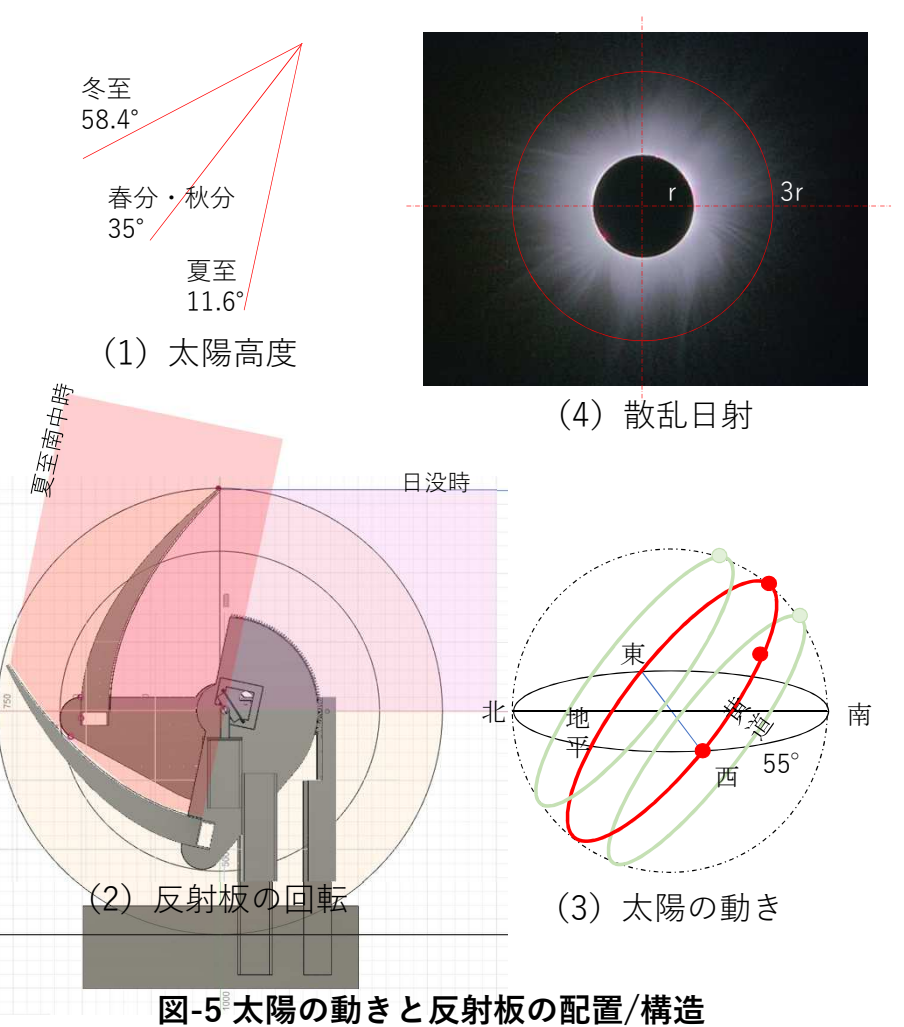
				(1)	_ ((0) -		衣⁻∠ 朱钅	熱表直の性能比較		
項目	単位		太陽熱発電	『 集熱装置		最近の例(最近の例(スイス製)		ソーラーシステム		(低温) 集熱装置
	+111	パラボラ・トラフ型	パラボラ・タワー型	リニア・フレネル型	パラボラ・ディッシュ型	パラボラ・トラフ型	パラボラ・ディッシュ型	産業用	家庭用	(多面平板)	発電/温水利用
集熱温度	°C	400~560	850~1,000	480	750~1,500	650		160~200	160~200	1	98
使用温度	11	300~400	290~500	250~400	300~1,000			120~180	40~60	60~200	95
蓄熱時間	h	8~15	8~15	8~15	8~15	. 8	,	蓄熱には不向き	i		200
エネルギーロス(有効)	%	60	70	60	60	35~80	80	30~45	30~45	20~30	80
発電機効率	11	25	20~35	25	25~35	25	25	<u> </u>			14
熱効率	11	15	21	15	15	10	20	_			11.2
敷地効率	11	25~40	30	60~80%?	50?	65?	50?	_		_	33.3
			•			** ** **					•

図-4 既往集熱装置

熱効率は既往と変わらない。集熱温度が低いこと、長時間蓄熱とコストに違いがある。

4. 検討スキーム (集熱装置におけるエネルギーロス) 表-3 受光日射量

受光に至る低減 $(\beta 1 \sim \beta 4)$ 、受光後のエネルギーロス $(\alpha 1 \sim \alpha 13)$ を小さく、製作/運用コストを抑える工夫 (些事に神は宿る)



項目	数量	単位	-	備考(低減率)
年平均水平全天日射量(GHI)	3.93	kWh/m²/	′day	与条件 (館山)
年平均水平散乱日射量(DHI)	1.84	<i>11</i>		<i>''</i>
年平均直達日射量(DNI)	2.55	<i>11</i>		// (緯度θ 35°, cosθ 0.82)
方位角90°未満、270°以上控除	2.26	11	β1	88.5% 11.5%控除(図-7より)
入射角による反射率低減	2.19	<i>11</i>	β2	97.0% 集光範囲を断面で45°、長さ方向は60°
設置間隔/低高度時の影	2.19	<i>11</i>	β3	100.0% 設置間隔を放物線高さ×3(=2.4m)
散乱光取り込み率	0.09	11	β4	5.0% 散乱光は太陽径の3倍くらいまで多い
反射板受光量 (年平均)	2.28	11		(誤差も踏まえ、4~5倍を受光)

表-4 集熱効率

	項目	細目		設定	備考
		反射率	α1	92.5%	反射材使用, 銀蒸着93%,アルミ蒸着90%~95%
i)	①反射板	製作/設置/運用誤差	α2	100.0%	誤差範囲に吸収
反		汚れの影響	α3	99.5%	1%×径年数,定期的に清掃
射	②定規	製作、設置誤差	α4	100.0%	誤差範囲に吸収
	③外力	歪による誤差	α5	100.0%	<i>''</i>
板	④移動装置	横・縦移動誤差	α6	100.0%	"
	⑤基礎	垂直誤差	α7	100.0%	"
ii)	①ガラス (外)	透過率	α8	97.2%	反射防止材使用
',	②ガラス (内)	透過率	α9	97.2%	<i>''</i>
シ	③集熱体	熱変換率	α 10	100.0%	エネルギーの逃げ場はない
	④断熱材	有効率	α 11	98.8%	断熱材使用
	⑤二重窓	有効率	α 12	99.2%	二重窓構造
バ	⑥支点部欠損	有効率	α 13	95.0%	支点部100mm (スパン2,000mm) は受光できない
集熱	热効率			80.9%	集熱装置のエネルギーロス20%
;;;)	水路	伝導	α 14	99.4%	断熱処理
111 /	/J\\\\\\\\\\\\\\\\\\\\\\\\\\\\\\\\\\\\	放射	α 15	99.9%	" (α14~α17は今回は除外)
iv)	貯水池	伝導	α 16	99.4%	断熱処理
10)	X1 /1\/L	放射	α 17	99.9%	<i>"</i>

5. 課題と解決策

(1) 課題×解決策

①集熱効率が不十分 ②反射板の製作/設置コストが高い ③制御のコストが高い ③制御のコストが高い ※ 【②エネルギーロスの最小化、最適化 ③制御費の最小化、最適化 ④材料、工法の選択と製作費、敷設費の低減

これらは相互に関わるところがあり、 └(トレードオフ)多変量の最適化問題に 帰する。

(2) 受光量の最大化、最適化

- 1)入射角(方位角120°未満、240°以上,高度0°~20°)により反射率は低減する。ここでは放物線の断面で入射角45°まで対象にする。
- 2)延長方向集光範囲は60°~70°程度になるが、これ以上薄く入射する方位角90°~120°、240°~270は太陽高度も低く、日射量も小さい。
- 3) 所定の日射量を得るためには、受光の低減率の逆数が反射板必要面積に掛かり、工事費とのバランスに帰着する(最適化できる)。
- 4) 誤差/散乱光の一部を吸収
 - ①製作/設置/制御誤差はレシーバ受光面の幅を広くすること対応できる。
 - ②太陽視差(太陽光は厳密には平行ではない)はレシーバ受光面の幅で対応できる。
 - ③散乱光の一部を取り込める(太陽の方向から ± 1.1 °~1.4°(誤差対応幅分、ここでは散乱光の5%と仮定)

(3) エネルギーロスの最小化、最適化

- 1) 製作/設置/制御誤差を最小に
 - ①放物線を利用し、日射を焦点に集中するが放物面の位置誤差、角度誤差は集熱効率に大きく影響する
 - ②対策は受光面を平面にし、誤差の影響を緩和する(従来は円形断面で誤差の影響が大きい)、 受光幅に誤差を踏まえた余裕幅をもたせることで吸収できる。
- 2) レシーバ壁からの熱伝導のエネルギーロスを最小化
 - ①集熱温度を下げることで熱伝導によるエネルギーロスは大幅に抑えられる。
 - ②断熱材、二重窓で熱伝導エネルギーロスを最小化(受光量/工事費とのバランス)

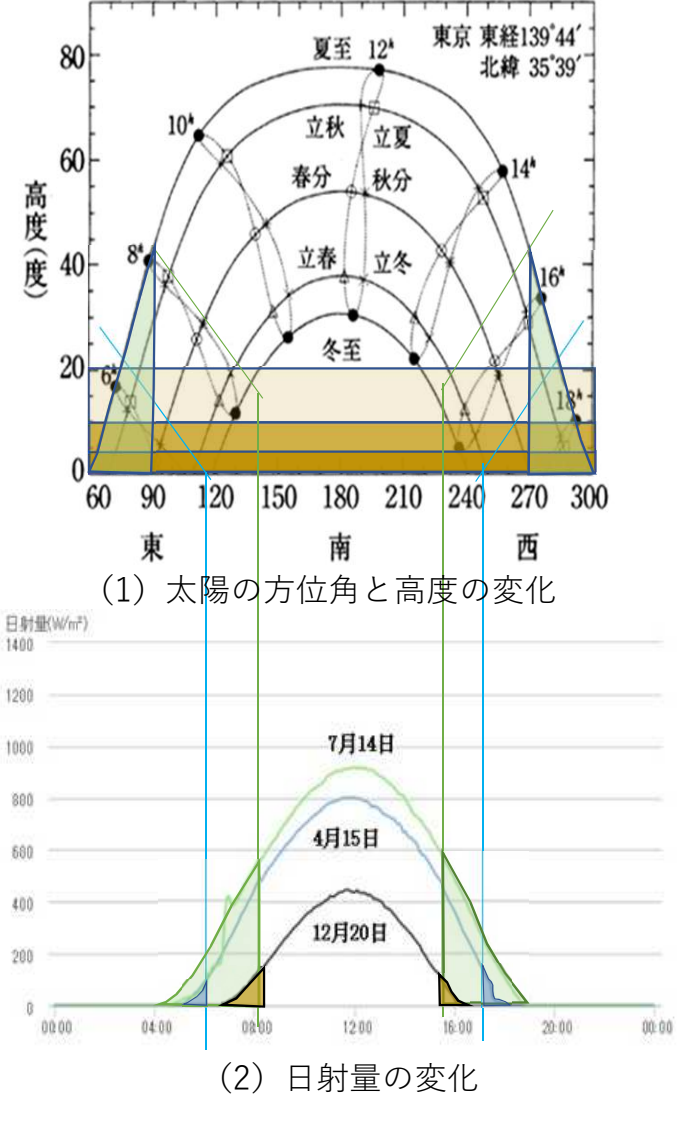
(4) 制御費の最小化、最適化(太陽の動きに応じた反射板の配置/制御法)

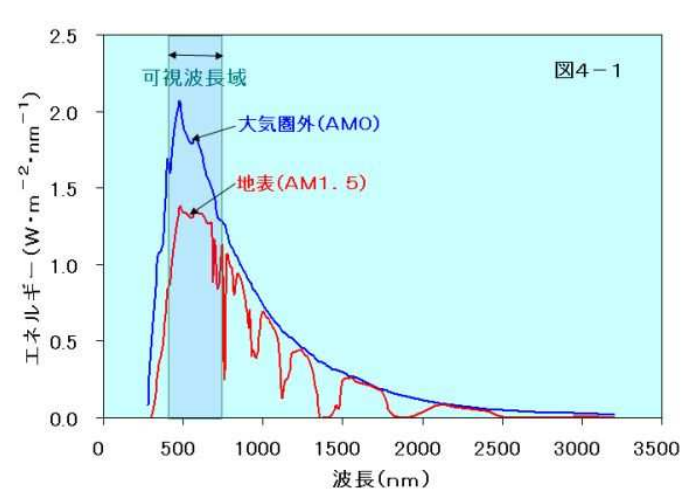
- 1) 反射板を南向き、回転軸を東西に配置することで、年間を通し反射板は一軸の回転で制御できる(簡素化/コスト減)。
- 2) 太陽の方位角、高度から受光できる日射は制約され、全体の88.5%となる。
 - ①方位角で90°未満、270°以上は対象外←相対的に時間、日射量は小さい。
 - ②十地利用上の都合(配置)から、高度で20°以上は100%受光できるが、10°で50%、5°で26.5%となる。
 - ③太陽高度が低いときの受光量の低減は十地利用とトレードオフ

(5) 材料、工法の選択と製作費、敷設費の低減(最適化の上、選択できる環境が重要)

1)無駄を省き、ヒーマンサイズで、扱いやすく、リスク防止を基本としながらも、多くは性能とトレードオフとなり、最適化の上、選択できる。

6. 日射と反射エネルギー





(3) 波長~エネルギー

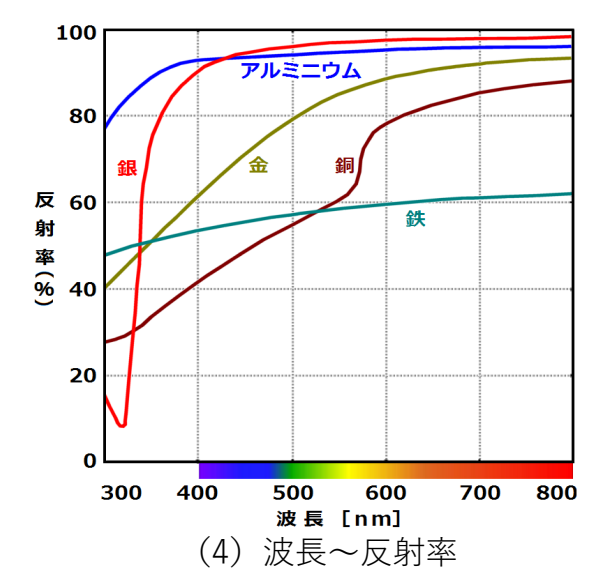
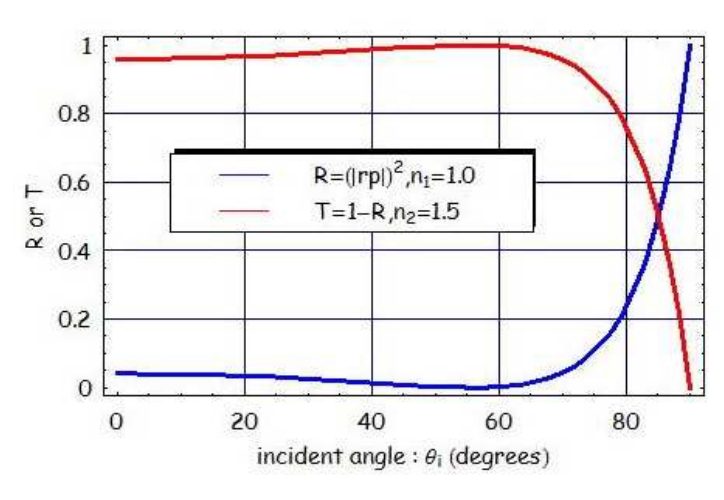
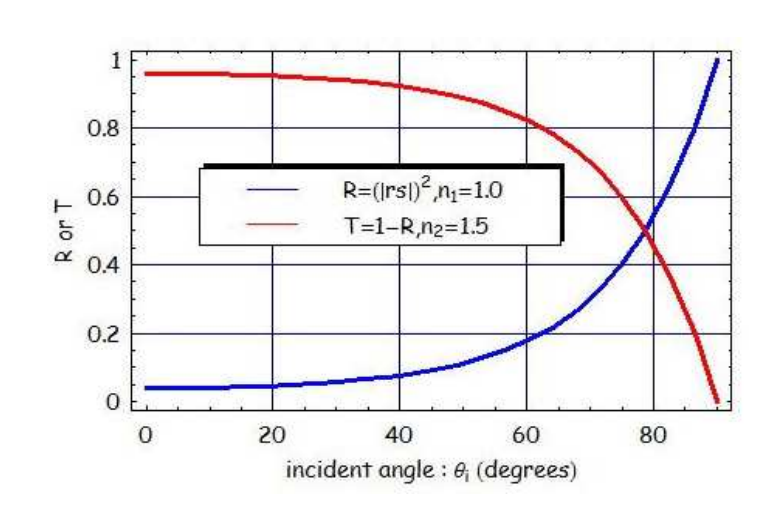


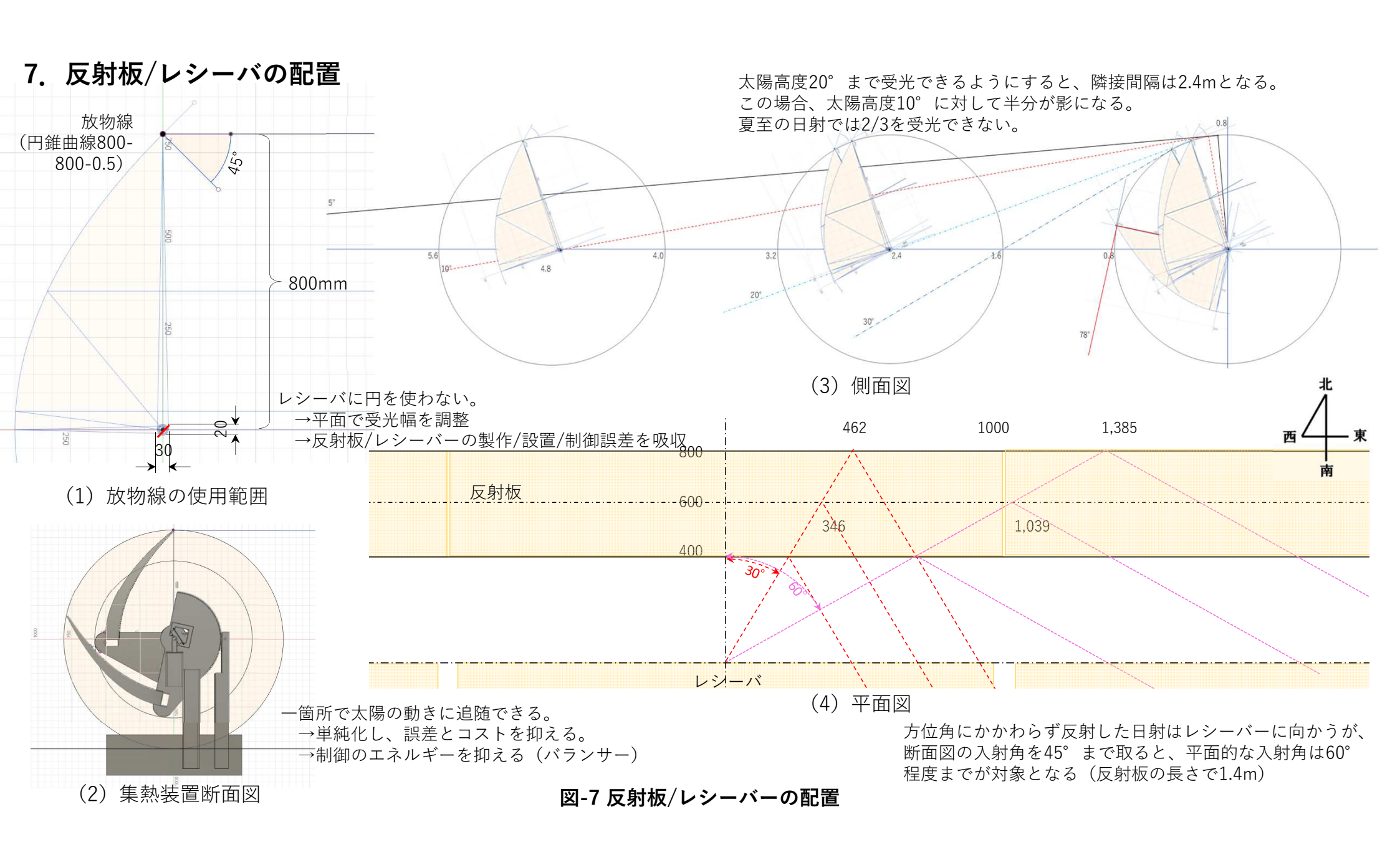
図-6 日射と反射/透過エネルギー



(5) 入射角~反射率/透過率(P偏光)



(6) 入射角~反射率/透過率(S偏光)



8. 反射材

コストパフォーマンスで87%~93%から選定できる。

8.	反射 材							コス	トパフォー	マンスで8/	%~93%:
_						光学特	寺性 {%}		ŧ.	幾械的性質	
皇	製品名(型式No.)	仕上	名称	基材	可視光	拡散反射率	正历	射率	耐力 Rp 0.2	引張強さ Rm	伸び A50
•					全反射率	加热双剂车	ロール目方向	直角方向	(Mpa)	{Mpa}	{%}
MIF	RO(アルミ蒸着)			DIN EN573-3	DIN 503	86-3 (8°)	ISO 766	88 (60°)			
	MIRO 2 (4200GP)	AL PVD	High Specular	AL99.85	≥ 95	≤ 5	≥ 91	≥ 91	140-180	160-200	≥ 2
	MIRO 4 (4400GP)	AL PVD	High Specular	AL99.85	≥ 95	≤ 12	≥ 89	≥ 88	140-180	160-200	≥ 2
MIF	RO-SILVER (銀蒸着)										
	MIRO-SILVER 2 (4200AG)	AG PVD	High Specular	AL99.85	≥ 98	≤ 5	≥ 93	≥ 93	140-180	160-200	≥ 2
	MIRO-SILVER 4 (4400AG)	AG PVD	High Specular	AL99.85	≥ 98	≤ 12	≥ 91	≥ 90	140-180	160-200	≥ 2
An	odized (アルマイト仕上	.)									
	318G/2	anodized	High Specular	AL99.85	≥ 87	≤ 8	≥ 83	≥ 82	140-180	160-200	≥ 2
	300G	anodized	High Specular	AL99.85	≥ 86	≤ 14	≥ 81	≥ 78	140-180	160-200	≥ 2
we	atherproof(屋外用)				Total solar/li	ght Reflectan	CO				
	MIRO-SUN (KKS)	lacquered	for CSP/CPC	AL99.85	90/92	n.m.	≥ 87	≥ 87	130-160	130-160	≥ 2
	MIRO-SUN (KKSP)	lacquered	for photovoltaic	AL99.85	90/87	n.m.	≥ 86	≥ 86	125-155	125-155	≥ 2
	標準サイズ	MIRO	板厚	0.2-0.7	mm		reference data	A1050P-H24	115	123	19
		その他		0.3-1.0				A5052P-H32	191	240	10
		標準品	幅 コイル内径		(1225mm,100 m or φ500r			A5052P-H34	230	262	6
			- / II M (72	MAN			2				

MATERIAL HOUSE

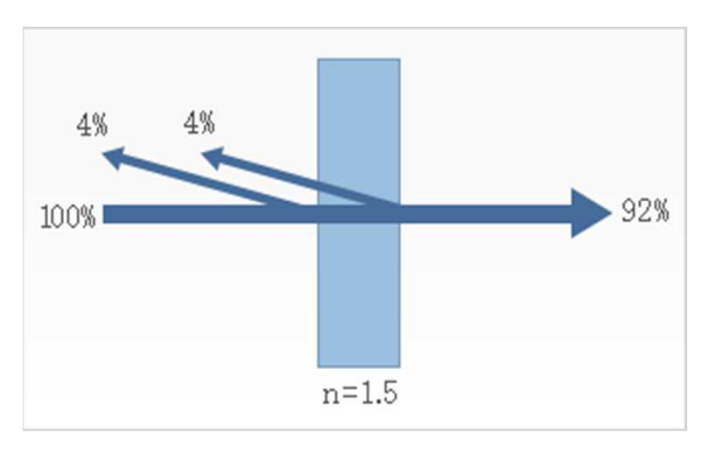
株式会社マテリアルハウス

〒146-0081 東京都大田区仲池上1-19-3 株式会社マテリアルハウス 工業製品事業部 TEL:03-3751-5112,5117 FAX:03-3755-0065 URL:http://materialhouse.co.j 表-5 反射材仕様

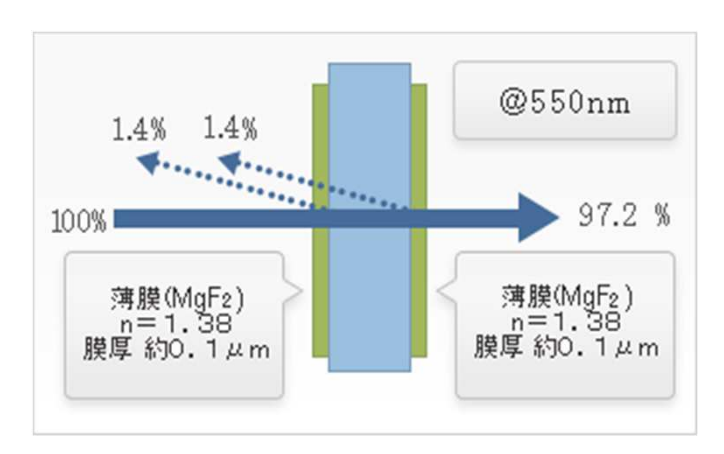
(マテリアル ハウス社 パンフレット 抜粋)

2015年6月

9. 反射防止材



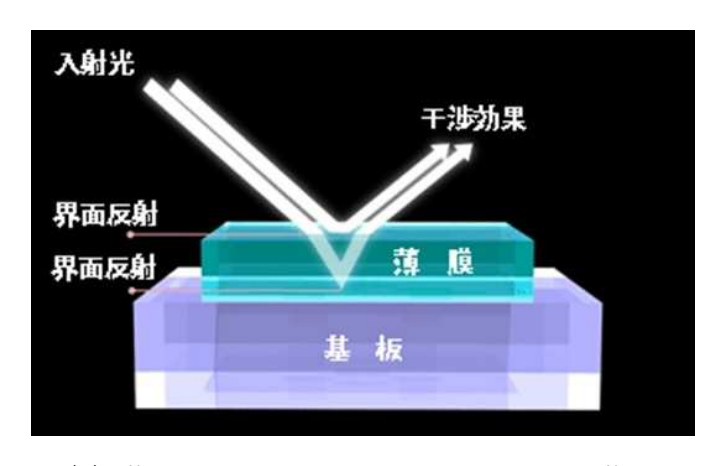
(1) 屈折率1.5のガラス基板に光が入る場合、入射側の界面で4%の光が反射し、さらに射出側界面で約4%を反射する。



(2) 屈折率1.38のフッ化マグネシウムの膜を約 0.1μ mガラスの表面にコーティングすると、表面の反射率はコーティング無しの4%から1.41%まで低減される



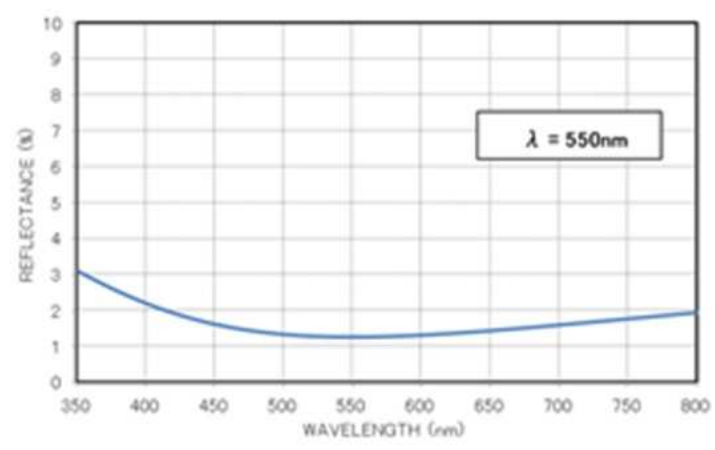
(3) 中央より左半分に薄膜で反射防止コーティングを施したもので、反射が減少して後ろの文字が見えます。



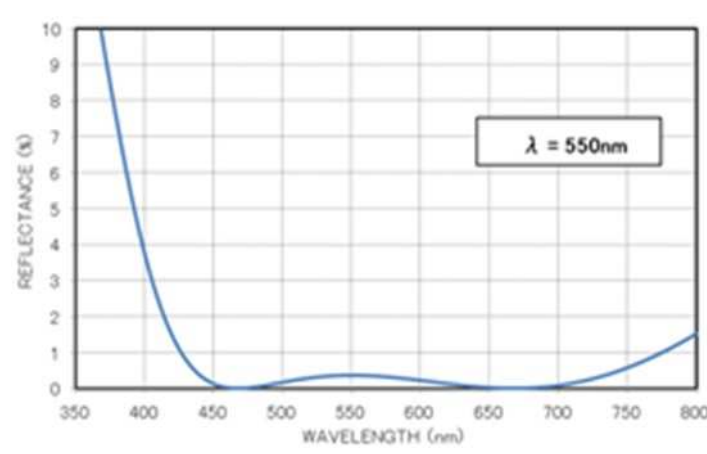
(4) 薄膜でこのようなことができるのは、薄膜の表面で反射した光と薄膜と基板の界面で反射した光が干渉するためです。

図-8 反射防止材

1層で97.2%、コストパフォーマンスで選択できる。



(5) 単層反射防止膜 基板 Ns=1.52, 薄膜 n=1.38 (MgF2)



(6) 3層反射防止膜 基板 Ns=1.52,薄膜 n=1.38(MgF2),n=2.00 (ZrO2),n=1.60(Al2O3)

10. 断熱材

表-6 物質の熱伝導率 κ 「W/m・K]

物質 温度「°C] 埶伝導埶 10 403 乾燥空気 0.0241 乾燥木材 $18\sim25$ 0.15 \sim 0.25 ガラス 常温 $0.55 \sim 0.75$ 断熱材の性能は良く、安い。

条件に応じたコストパフォーマンスで選択、 0.582 層厚を設計できる。

表-7 市販断熱材の仕様

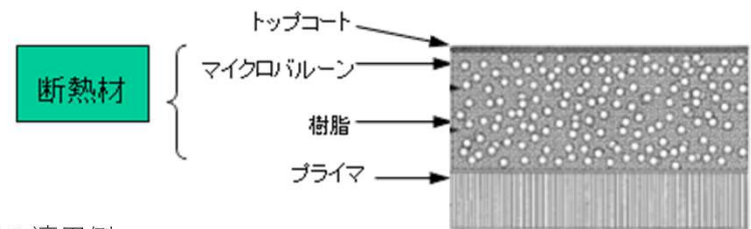
(*) 推奨設計値 (**) JIS 9501

保温材/断熱材の名称	種類	熱伝導率(23°C) W/(m・K)) 密度 (kg/m³)	使用温度 (°C)	関連JIS
	1種	0.029以下	35以上	100以下	JIS A9511
A種硬質ウレタンフォーム保温板	2種1号	0.023以下	35以上	<i>''</i>	<i>11</i>
	2種2号	0.024以下	25以上	<i>''</i>	<i>11</i>
	1種1号	0.024以下	35以上	<i>11</i>	<i>11</i>
B種硬質ウレタンフォーム保温板	1種2号	0.025以下	25以上	11	<i>11</i>
日性受員グレダングオーム休価似	2種1号	0.023以下	35以上	<i>11</i>	<i>11</i>
	2種2号	0.024以下	25以上	11	<i>11</i>
建築物断熱用吹付け保温板	A種1	0.034以下(*)			JIS A9526
硬質ウレタンフォーム保温板	A種2	0.034以下(*)		<i>11</i>	<i>11</i>
	1種1号	0.022以下	45以上	130以下	JIS A9511
A種フェノールフォーム保温板	1種2号	0.022以下	25以上	<i>"</i>	<i>11</i>
	2種1号	0.036以下	45以上	"	<i>''</i>
ロックウール	ウール	0.044以下	40~150	650以下	JIS A9504
	保温板1号	(平均温度70°C)		600以下	<i>11</i>
グラスウール	ウール	0.042以下		400以下	JIS A9504
	保温板24k	0.049以下	24 ± 2	250以下	<i>11</i>

日本ウレタン工業協会 http://www.urethane-jp.org/ga/koushitsu/k-1.htm

【参考】JAXAの断熱材技術 (http://www.jaxa.jp/press/2005/06/20050613_gaina_j.html)

- 〇 概要
- ・H-IIロケットの衛星フェアリング開発の過程で生まれた技術
- ・シリコン系とエポキシ系の二種類があり、主な成分はマイクロバルーンとシ リコン又はエポキシ樹脂
- ・「国際新技術フェア2002」において、「第2回優秀新技術賞/優秀新技術特別 賞|を受賞
- 特徴
- ・施工性:スプレー塗装可能。常温で硬化
- ・接着性(他の接着剤の併用不要)
- ・軽量(密度 0.3~0.35 (g/cm3))
- ・耐熱温度 (エポキシ系 約300°C シリコン系 約500°C)
- ・断熱性(低熱伝導率 80°C 0.05~0.107w/(m・k))
- ・高温での機械特性(熱衝撃、衝撃加重、振動加重に強い)



○ JAXAでの適用例

本断熱材は、JAXAが開発した大型ロケットH-II、H-IIAロケットのフェアリン グ(打上げ時の風圧、熱等に対して衛星を保護する役目をする直胴部を含む円 錐状のカバー)の断熱材として使用しています。



フェアリング開頭試験

11. 二重窓

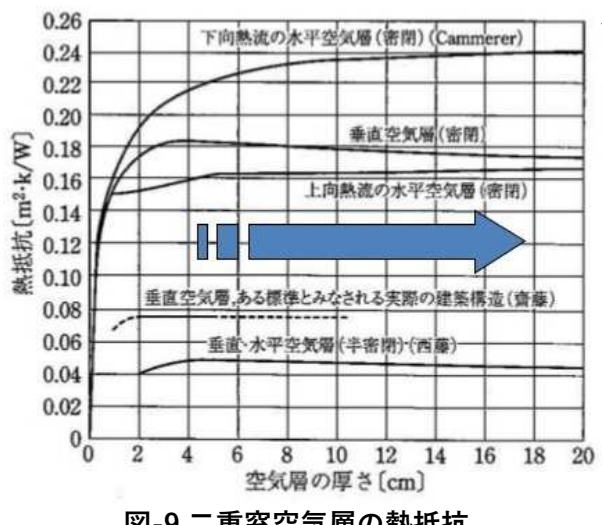


図-9 二重窓空気層の熱抵抗

←二重窓の間隔 (垂直空気層) は3cmを超える と変わらない。

> 断熱材のために 反射板に影を 作ってはいけな い。 →薄くて高性能 な断熱材 ガラス1重は論 外、三重、四重 は不利。

表-8 二重/三重/四重窓の断熱性能 (建築資料集成抜粋)

	熱伝導率	厚さ	熱抵抗係数(m2K/W)				
	W/mK	mm	二重窓	三重窓	四重窓		
ガラス	0.650	3	0.00462	0.00462	0.00462		
空気層	0.164	30	0.18300	0.18300	0.18300		
ガラス	0.650	3		0.00462	0.00462		
空気層	0.164	30		0.18300	0.18300		
ガラス	0.650	3			0.00462		
空気層	0.164	30			0.18300		
ガラス	0.650	5	0.00769	0.00769	0.00769		
外気側表面	熱抵抗Ro(r	m^2K/W	0.130	0.130	0.130		
室内側表面	熱抵抗Ri(N	I^2K/W	0.220	0.220	0.220		
熱貫流抵抗	Rt=RO+Ri+	$\Sigma (di/\lambda i)$	0.545	0.733	0.921		
熱伝導率換	算		0.055	0.082	0.098		

建築設計資料集成2,日本建築学会(1979),丸善(抜粋)

キューチャ 四手の/此劫共原とふじむ

表-9 二重窓~四重窓/断熱材厚さの比較							
	単位	一重	二重		三重	四重	
		t=30mm	t=30mm	t=50mm	t=100mm	t=30mm	t=30mm
断熱材からのロス後T2(t)=	°C	94.51	94.51	94.67	94.82	94.51	94.51
温度低下Δt=	<i>11</i>	-0.49	-0.49	-0.33	-0.18	-0.49	-0.49
ガラスからのロス後T2(t)=	<i>11</i>	65.45	94.68	94.68	94.68	94.76	94.81
温度低下Δt=	<i>11</i>	-29.55	-0.32	-0.32	-0.32	-0.24	-0.19
水温低下計	<i>11</i>	-30.04	-0.81	-0.65	-0.50	-0.73	-0.68
エネルギーロス (入り55°C, 45°C)	%	-75.1%	-2.0%	-1.6%	-1.2%	-1.8%	-1.7%
断熱材による受光量減	<i>11</i>	0.0%	0.0%	-2.5%	-8.8%	0.0%	0.0%
透過によるロス	<i>11</i>	-2.8%	-5.6%	-5.6%	-5.6%	-8.4%	-11.2%
評価		Χ	0	Χ	X	Χ	Χ
延長	m	100	100	100	100	100	100
流速(1.0m/s以下)	m/s	0.077	0.077	0.077	0.077	0.077	0.077
滞在時間	S	1,302	1,302	1,302	1,302	1,302	1,302
T1	°C	20.0	20.0	20.0	20.0	20.0	20.0
T2(0)	<i>11</i>	95.00	95.00	95.00	95.00	95.00	95.00
k (鋼材+断熱材)	W/m·K	0.0181	0.0181	0.0203	0.0221	0.0181	0.0181
辺長S	m^2	0.240	0.240	0.240	0.240	0.240	0.240
k (ガラス+空気層)	W/m·K	0.650	0.055	0.055	0.055	0.082	0.098
辺長S	m^2	0.051	0.051	0.051	0.051	0.051	0.051
送水路内縦(換算)	m	0.083	0.083	0.083	0.083	0.083	0.083
送水路内横(換算)	<i>11</i>	0.083	0.083	0.083	0.083	0.083	0.083
断熱材厚	<i>11</i>	0.030	0.030	0.050	0.100	0.030	0.030
ガラス間隔	<i>11</i>	-	0.030	0.030	0.030	0.060	0.090
熱容量	J/K	28,720	28,720	28,720	28,720	28,720	28,720
体積	リットル	6.84	6.84	6.84	6.84	6.84	6.84
比熱	J/g·K	4.20	4.20	4.20	4.20	4.20	4.20

12. 集熱体

エネルギーの逃げ場はないし、黒い膜でいいと思うのですが・・・

【参考】専用素材

太陽光吸収率98%の集熱板の開発

ナノ材料を立体的に積み上げて光吸収率99%を達成

『太陽熱吸収体』は、酸化チタンとカーボンナノチューブ、酸化チタンと金属酸化物の複合液のコーティングにより、太陽光を効率的に取り組む集熱体です。

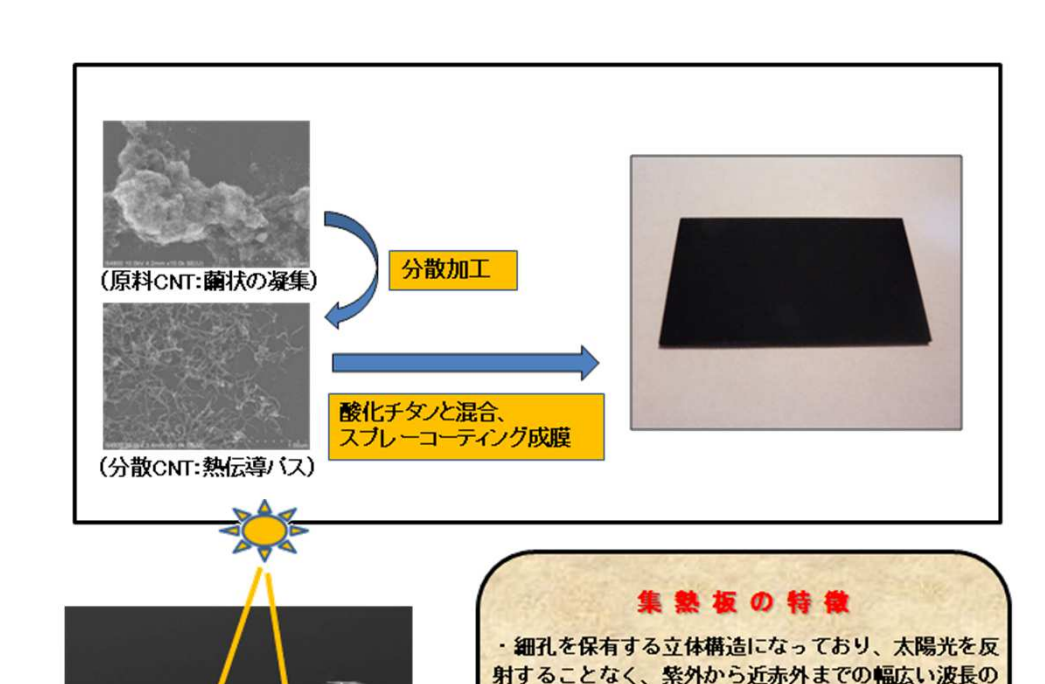
分散したCNT、金属酸化物をチタン前駆体に混合させ、分散状態を保持したままコーティングすることで、細孔を保有した構造体を作成することに成功。

ベース層、光吸収層、トップコートの3層構造で、基板への密着性が良く高温耐久性に優れています。

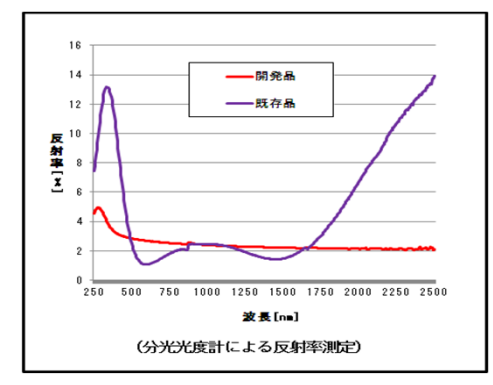
【特長】

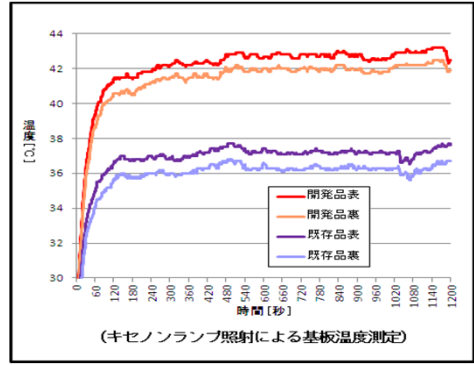
- ■細孔を保有した構造体
- ■紫外から近赤外までの幅広い波長の太陽光を99%吸収
- ■効率的に基板に熱を伝えることが可能

https://www.ipros.jp/product/detail/2000349089/



(集熱板断面図)





光を約98%吸収することが可能です。

に密着性良く作成できます。

・吸収した光は熱に変換され、CNTの高い熱伝導により熱放射することなく効率的に基板に熱を伝えます。

・アルミ、ステンレス、銅等どのような基板にも強固

13. 埃/汚れ

PVの例では、汚れにより年1%の出力低下が生ずる。 海岸から500m以内では潮風の影響は無視できない。 ここでは、設計上、一定の低減を見込む。

反射板、レシーバ受光面は清掃を要するが、 反射板/レシーバは可動式で、垂直に立てることで埃を落下させることができ、 定期的に水で手洗いを行う。

また、集熱板が大規模になるとき、機械化を検討する。(右図参照)



(1) 太陽電池モジュール洗浄用アクセサリー



(2) SktRobot Solrider

図-10 埃/汚れ対策

14. 結果としての設計方針/構造詳細

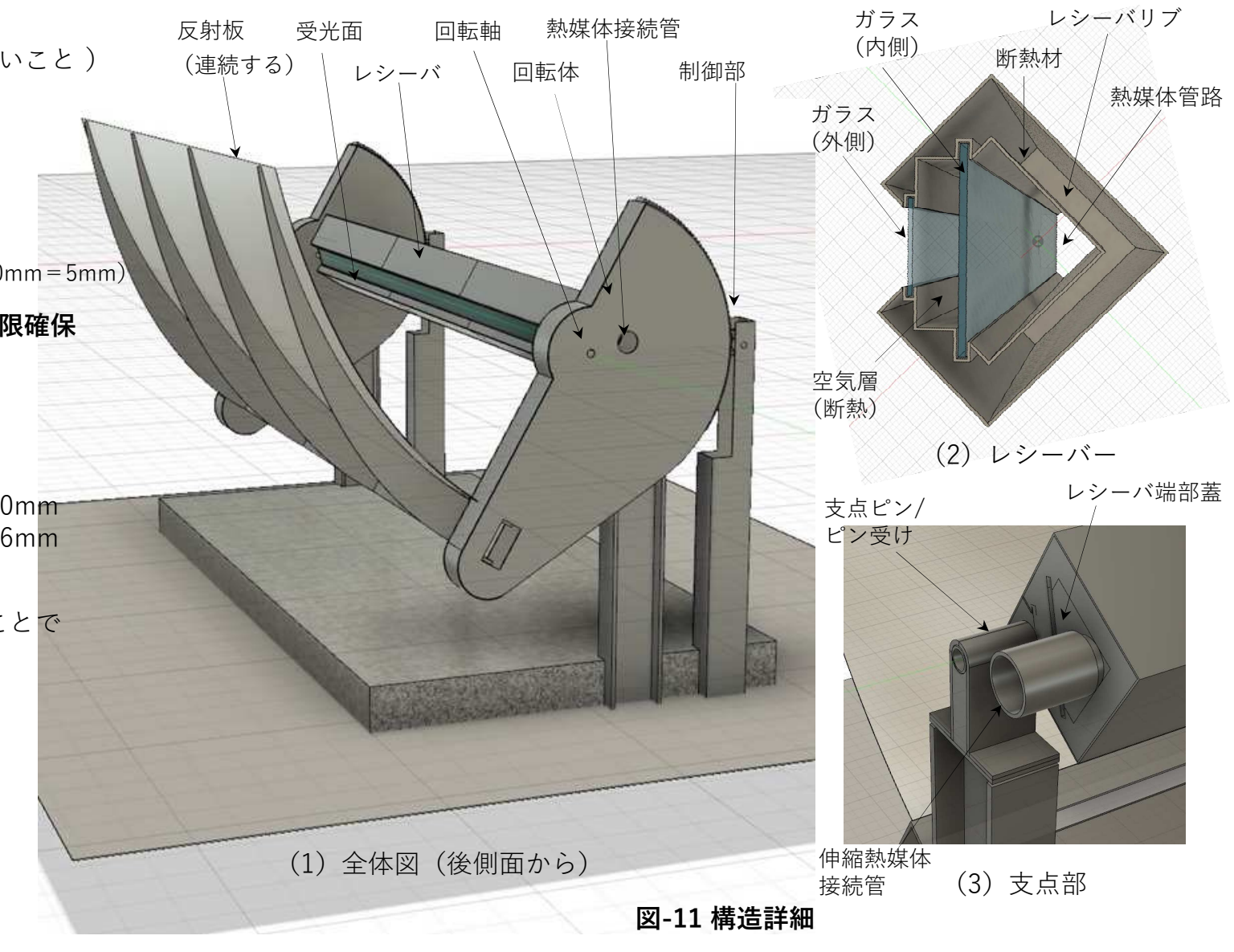
(1) 反射板面積は最大限大きく

(ただし、運び易く、施工し易く、保守し易いこと)

- →長さ1.990mm
- →温度膨張遊間10mm
- (2) 焦点距離と反射板の延長比は 方位角60°まで対象に誤差を吸収
- →反射板位置の誤差は5mm
- →角度の誤差は5/400 (×800mm=10mm, ×400mm=5mm)
- (3) 支点部構造は狭く、レシーバ受光面を最大限確保

(膨張 鋼材1.73mm, ガラス1.36mm)

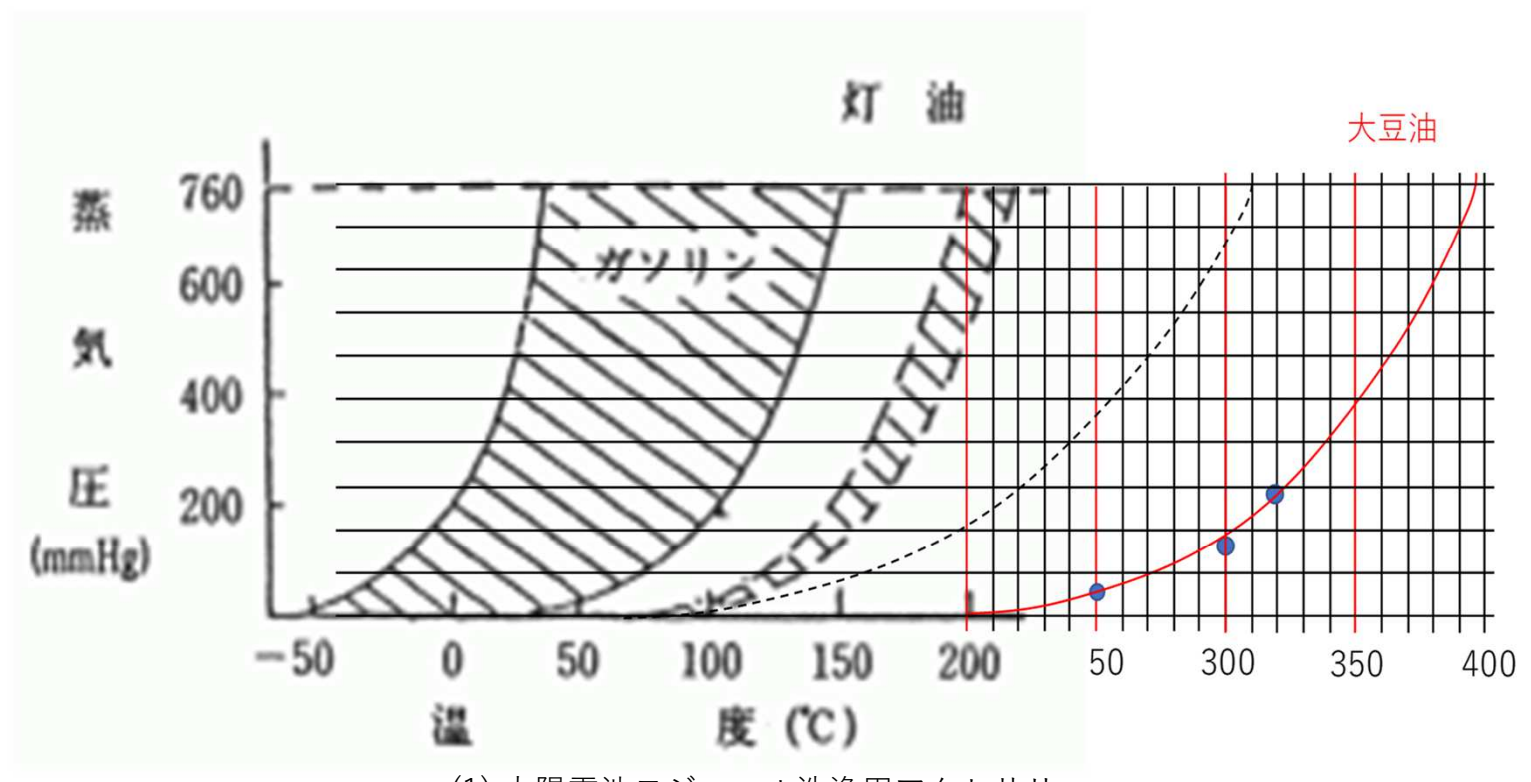
- →遊間3mm+撓み、施工性分3mm
- →鋼材/ガラス接合部はシール
- (4) レシーバ断熱構造
- →受光部断熱方法の最適化→二重窓空気層t=30mm
- →断熱材質、厚さの最適化→発泡ウレタンt=26mm
- (5) 反射板/回転軸の配置
- →反射板を南向き、回転軸を東西に配置することで 一軸の制御で対応できる。
- (6) 支点部伸縮性/止水
- →支点の伸縮性確保 (構造詳細で対応できる)
- →内側ガラスの止水性確保(〃)
- →連結管の伸縮性/止水性確保(″)
- (7) 回転による部材の取り合い
- →回転板/制御装置/レシーバ端部蓋/支点の 取り合い/遊間確保(構造詳細)



15. 熱媒に食用油を使用する場合

ここでは水を用いることにしているが、環境/目的により、油の使用もあり得る。 熱媒体に油を使用すれば、集熱温度を 180° C \sim 200 $^{\circ}$ Cにできる。 (ドイツの例では油を使用し集熱温度を 180° Cとしている)

ただし水と比べた場合、コスト、安全性などの検討が必要となる。 高温/高圧になるため、アキュムレータが必要になる。 (発電に有利になるかは検討を要する)



(1) 太陽電池モジュール洗浄用アクセサリー

図-12 食用油を使用する場合



(2) アキュムレータ